

(مقاله پژوهشی)

**یک مدل جدید ریاضی برای جریان در خط لوله گاز تراکم پذیر همراه با نشت\***مرجان علی‌یاری<sup>(۱)</sup> فائزه فرهادی<sup>(۲)</sup>

**چکیده** در این مقاله، یک مدل خط لوله گاز همراه با نشت ارائه می‌شود. این مدل نیازی به ارزیابی ویژگی‌های تجهیزات پایین‌دستی ندارد و به روش‌های عددی پیچیده تکیه نمی‌کند. تغییرات متغیرهای جریان را می‌توان با دقت مدل پیش‌بینی کرد. در این مدل، یک رویکرد جدید مبتنی بر شباهت بین خط لوله و مدار الکتریکی پیشنهاد می‌شود، به طوری که، یک مدار معادل با یک ساختار خاص برای شبیه‌سازی خط لوله نشت استفاده می‌شود. این رویکرد نوین را می‌توان برای ارزیابی تلفات ناشی از نشت و راهنمای عملکرد خط لوله و همچنین کمک به تشخیص نشت ارائه کرد. می‌دانیم که عبارات ریاضی متعددی در توصیف جریان در خط لوله با نشت فرموله شده است اما حل آنها به سادگی امکان‌پذیر نیست. این در حالی است که مدل ریاضی خط لوله با نشت را نیز می‌توان با این روش توسعه داد. این مدل با استفاده از داده‌های حاصل از یک خط لوله گاز واقعی تأیید می‌شود. نتایج شبیه‌سازی به خوبی با نتایج تجربی تطابق دارد که این بر صحت مدل و اعتبار و کارایی روش پیشنهادی صحت می‌گذارد.

**واژه‌های کلیدی** خط لوله؛ مدل‌سازی ریاضی؛ الگوی هیدرولیکی الکتریکی؛ شبیه‌سازی؛ نشت؛ مدار معادل.

**A New Mathematical Model Gas Flows in Pipeline with Leak**

M. Aliyari F. Farhadi

**Abstract** In this paper, a gas pipeline model with leakage is presented. This model does not need to evaluate the characteristics of downstream equipment and does not rely on sophisticated numerical methods. Changes in the flow variables can be accurately predicted by the model. In this model, a new similarity-based approach is proposed between the pipeline and the electrical circuit, in which a circuit equivalent to a specific structure is used to simulate the leakage pipeline. This new approach can be used to assess leakage losses and guide pipeline operation as well as to help detect leaks. We know that many mathematical expressions have been formulated to describe the flow in a pipeline by leakage, but it is not easy to solve. However, the mathematical model of a leaky pipeline can also be developed with this method. This model is validated using data from a real gas pipeline. The simulation results are in good agreement with the experimental results which confirm the validity of the model and the validity and efficiency of the proposed method.

**Key Words** Pipeline; Mathematical Modeling; Hydraulic-Electric Analogy; Simulation; Leakage; Equivalent Circuit.

\* تاریخ دریافت مقاله ۹۸/۱/۲۱ و تاریخ پذیرش آن ۹۸/۷/۳۰ می‌باشد. DOI: 10.22067/fum-mech.v3i1i1.80013

(۱) نویسنده مسئول: استادیار، گروه ریاضی کاربردی، دانشگاه آیت الله بروجردی، ایران. m.aliyari@abryu.ac.ir

(۲) کارشناس ارشد طراح خطوط لوله، شرکت آذراب ایران، تهران، ایران

## مقدمه

یکی از مباحث مهم و قابل توجه در صنعت گاز محاسبه گازهای تلف شده است و این مسئله همواره به عنوان یک معضل مورد توجه بوده است. عوامل مختلفی در اتلاف گاز نقش دارند که در بسیاری از موارد قابل اندازه گیری نیستند و باید روش هایی برای تخمین و محاسبه آنها پیش بینی نمود. برای مثال گازهای خروجی حاصل از نشت حاصل از ترک و یا نشت در اثر سوراخ شدن خطوط لوله بهنگام برخورد با یک وسیله مکانیکی و غیره. این نشتی ها از کارهای عملیاتی عادی، امور تأسیساتی و توزیع کننده های سیستم و غیره نتیجه می شوند. نشت گاز طبق تعریف عبارت است از خروج ناخواسته گاز که به علل گوناگون و معمولاً به طور ناگهانی روی می دهد و همواره امکان بروز پدیده نشت گاز در تأسیسات خط لوله، شبکه های گازرسانی و منازل وجود دارد.

نشت گاز به علل مختلف در لوله های گاز و تأسیسات گازی روی می دهد که مهم ترین آنها عبارتند از:

۱- خوردگی (corrosion)، در اثر نقص در عایق کاری و یا عدم اجرای صحیح حفاظت کاتریک سطوح خارجی لوله ها، امکان بروز خوردگی وجود دارد. اگرچه خوردگی های عمده در سطوح خارجی لوله ها اتفاق می افتد ولی امکان بروز خوردگی داخلی چه در لوله ها و چه در ظروف عملیاتی به علت وجود ترکیبات خورنده ای مثل هیدروژن سولفور و آب نیز وجود دارد؛

۲- سایش داخلی (Erosion)، در اثر وجود ناخالصی های همراه با گاز پدیده سایش اتفاق می افتد. معمولاً در محل خم لوله ها و یا در شیرهای کاهش دهنده فشار به علت افزایش سرعت گاز میزان سایش بیشتر است؛

۳- عوامل خارجی، مانند ضربه های مکانیکی و

اعمال تنش های اضافی؛

۴- نقص در ساختار متالورژیکی لوله ها، اتصالات و

شیرها و غیره؛

۵- نقص در اجزاء و نصب شیرها و سایر

اتصالات فلنجی و رزوه ای؛

۶- نقص در جوش لوله ها و اتصالات جوشی و....

انجام فرصت های مؤثر موجود برای کاهش

نشتی در صنعت نفت و گاز می تواند به

کاهش گم شدن محصول، نشت کمتر متان و

منافع بیشتر منجر شود.

مدل سازی ریاضی جریان در یک گاز با نشت

می تواند با در نظر گرفتن تغییرات متغیرهای جریان

مانند فشار و سرعت جریان در مجراهای یک خط لوله

پس از وقوع یک نشت در نظر گرفته شود، لذا می توان

از آن برای ارزیابی تلفات ناشی از نشت استفاده کرد.

علاوه بر این، مدل های ریاضی می توانند با استفاده از

داده های خود مکان وقوع نشت را تشخیص دهد

[1-3]. اکثر این مدل ها توسط شبیه سازی های خط لوله

مورد تأیید قرار گرفته اند، اما دقت شبیه سازی های خط

لوله توسط موارد واقعی تأیید نشده است.

معادلات حاکم بر رفتار جریان در یک خط لوله،

مجموعه ای از معادلات دیفرانسیل جزئی است و حل

آنها به روش های تحلیلی و حتی عددی مانند روش

مشخصه ها (MOC) و انواع مختلفی از روش های

اختلاف محدود، صریح و ضمنی نیز دشوار است. در

همه این روش های عددی، نیازمند اطلاعاتی از شرایط

مرزی خط لوله که وابسته به ویژگی های بالادست و

پایین دست دارد، هستیم. از این رو، مدل خط لوله نشت

کمتر از حد معمول است و این نسبت در هنگامی که

خط لوله دارای پیچیدگی خاصی باشد، افزایش می یابد.

اوک و همکاران [4] شبیه سازی جریان ناشی از

شکستن خط لوله و پس از آن قرار دادن یک دریچه

اضطراری را بیان و مورد بررسی قرار دادند.

شین و همکاران [5] از امواج صوتی برای تشخیص ضربه در خطوط لوله استفاده کردند. حس‌گرهای پیزوالکتریک (بار الکتریکی‌ای است که در مواد جامد مشخصی به علت فشار مکانیکی انباشته می‌شود) به‌طور گسترده‌ای برای نظارت بر سلامت ساختاری خطوط لوله استفاده می‌شوند.

نوری بروجردی [6] مدل‌سازی جریان گاز گذرا از خطوط لوله به دنبال خرابی فاجعه‌بار را مورد بررسی قرار داد که در آن به استفاده از روش اختلاف محدود از مرتبه ضمنی برای شرایط همرفت جهت استفاده در مدل جریان گاز بی‌دررو گذرا در صورت پارگی خط لوله می‌پردازد و هدف خود را کاهش محاسبات و زمان انجام عملیات محاسباتی اعلام کرد و نتیجه‌گیری کردند که در اوایل زمان پس از پارگی، افت فشار قابل توجهی در نقطه شکست رخ می‌دهد و در این مرحله جریان متزلزل وجود دارد. در بخش فشار کم، حداکثر نقطه فشار وجود دارد و وارونگی جریان در پشت جبهه موج انبساط رخ می‌دهد. در بخش فشار بالا، تغذیه گاز ادامه می‌یابد و با همان مقدار اولیه ثابت نگه‌داشته می‌شود و سرعت جریان به یک جریان خفه‌شده حالت پایدار می‌رسد. ابوالفضلی اصفهانی و همکاران [7] نیز مدلی برای بررسی جریان تراکم‌پذیر گذرا به همراه نشتی در خط لوله گاز به‌صورت بدون بُعد ارائه دادند. در این مدل، با بررسی پارامترهای میزان انتشار گاز بدون بُعد از پارگی خط لوله، یک تابع تخلیه جرم منحصر به فرد ارائه گردید. در این مدل معادلات حاکم بر ابعاد با روش صریح مککورمک برای طیف گسترده‌ای از هندسه متفاوت لوله‌ها و شرایط مرزی حاکم بر آنها حل و فصل شد. نتایج به‌دست‌آمده در این کار نشان‌دهنده آن بود که میزان رهاسازی مدل سوراخ مستقل از فشار و اصطکاک است، بنابراین تنها پارامتر مؤثر قطر نسبی سوراخ است، درحالی‌که در مدل پارگی کامل میزان رهاسازی تابعی از اصطکاک و قطر رهاسازی است. با توجه به دقت کم در مدل‌های

رگرسیون چندگانه کلاسیک، یک مدل اتصالی منحنی یک مرحله‌ای یک طرفه در مدل پارگی کامل برای به دست آوردن همبستگی‌های دقیق استفاده شد. همچنین در این مدل با معرفی یک شاخص و معیار آن برای خطوط لوله طولانی می‌توان دریافت که این شاخص نه تنها به هندسه وابسته است (نسبت طول به قطر لوله) بلکه به رژیم جریان نیز تعلق دارد (ضریب اصطکاک). به همین ترتیب در سال‌های اخیر، برخی از محققین سرعت انتشار گاز از یک خط لوله، محاسبه فشار و سرعت آزاد شدن در نقطه نشت را پیش‌بینی کرده‌اند [1,3,8-10]؛ اما در اکثریت آنها فرض بر این بود که شار جرم ورودی برابر با جرم شار آزاد شده است، لذا خطای محاسباتی قابل توجهی در عمل حاصل گردید. فعالیت معمول برای تخمین نشتی‌های گاز در شبکه‌های توزیع استفاده از فاکتورهای نشر است که حجم گاز را به ازای واحد طول یا به ازای فشار گاز در خط بیان می‌کند. این فاکتورها برای مواد و فشارهای مختلف، متفاوت است و انتخاب مناسب‌ترین روش برای یک موقعیت خاص کم‌اهمیت نیست و به‌طور ایده‌آل باید بر اساس اطلاعات پایه‌ای باشد.

در این مقاله، خط لوله با نشت توسط یک مدار الکتریکی معادل شبیه‌سازی شده و انتهای خروجی خط لوله می‌تواند با تقریبی از یک نوع مدار در نظر گرفته شود. ایده اصلی این کار برگرفته از مقالات و تحقیقات ابوالقاسم ذبیح ... و همکاران در [11] و مرتضی طاهری نژاد و همکاران در [12] است. در ادامه به جزئیات این روش پرداخته و مدل پیشنهادی را با داده‌های واقعی در معرض آزمایش و مقایسه قرار می‌دهیم.

### مدل‌سازی جریان در خط لوله گاز با نشت

برای ساده‌سازی عبارات ریاضی، دو فرضیه زیر در نظر گرفته می‌شود:

(SCADA) اغلب برای نظارت بر سیستم خط لوله و اکثر روش‌های تشخیص نشت استفاده می‌شود. با این حال، زمان نمونه‌برداری یک سیستم SCADA از چند ثانیه تا چند دقیقه است؛ بنابراین در این مقاله مطالعه خود را به فرآیند گذرا ملایم محدود کردیم که می‌تواند با معادلات حالت پایدار توصیف شود.

با توجه به مفروضات فوق و نادیده گرفتن تغییرات ارتفاع در طول خط لوله گاز، معادلات پیوستگی و ممتن حاکم بر جریان گاز ایده‌آل و هم‌دما در یک خط لوله می‌تواند با توجه به [14] به صورت زیر نوشته شوند:

$$\frac{\partial}{\partial t}(\rho A) + \frac{\partial}{\partial x}(\rho u A) = 0 \quad (1)$$

$$\frac{\partial(\rho u)}{\partial t} + \frac{\partial P}{\partial x} + \frac{\partial(\rho u^2)}{\partial x} = -\frac{\lambda \rho u^2}{2D} \quad (2)$$

جایی که  $\rho$ ،  $u$  و  $P$  به ترتیب، چگالی، سرعت و فشار گاز به عنوان تابع زمان،  $t$  و فاصله  $x$  است،  $\mu$  نشان‌دهنده ضریب اصطکاک،  $D$  نشان‌دهنده قطر لوله و  $A$  نشان‌دهنده مقطع عرضی است.

با استفاده از روش مشخصه‌ها ( $MOC$ ) در [15] و فرض بر اینکه سطح مقطع عرضی در طول خط لوله ثابت باقی می‌ماند، جریان در خط لوله نامحدود می‌تواند به صورت زیر به دست می‌آید [15]:

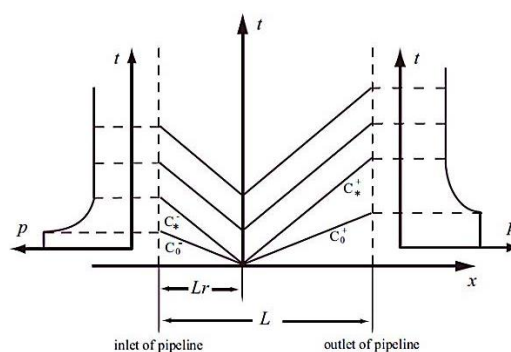
$$\frac{P_Q^2 - P_Z^2}{G^2 RT} - 2 \ln\left(\frac{P_Q}{P_Z}\right) = \frac{\bar{\mu} L}{D} \quad (3)$$

ضریب اصطکاک متوسط در امتداد طول خط  $\bar{\mu}$  جایی که  $G$  شار جرم در میان خط لوله است و  $G = \rho u$ ،  $P_Q$  فشار ورودی،  $P_Z$  فشار خروجی،  $R$  ثابت گاز جهانی،  $T$  متوسط دما در طول خط لوله است. در طول  $C_*^-$  در شکل (۱)، فرآیند گذرا به طور مستقیم به وسیله نشت به وجود می‌آید و جریان در آن قسمت از لوله از نقطه نشت به ورودی خط لوله می‌تواند

(الف) جریان هم‌دمایی در یک خط لوله فرض می‌شود و بنابراین معادله انرژی را می‌توان نادیده گرفت.

(ب) با توجه به آنکه مسیر لوله‌های مد نظر بسیار طولانی است، به طور مثال خط لوله گاز آغاچاری از جنوب به شمال، طول لوله نسبت به شعاع سطح مقطع آن آنقدر زیاد است که می‌توان جریان در این نوع خط لوله را یک‌بعدی در نظر گرفت.

با فرض وجود نشت ناگهانی، تغییرات سریع در فشار و سرعت جریان، موجب انتشار امواج از نقطه نشت به دو انتها خط لوله می‌شود [13]. امواج گسترش یافته که به عنوان موج فشار منفی (NPW) نامیده می‌شوند و انتشار آنها، در شکل (۱) نشان داده شده است.



شکل «۱»: تولید و پخش یک موج گسترده از نقطه نشت.

$L_r$  در شکل (۱)، فاصله از نقطه نشت به مجرای ورودی خط لوله را نشان می‌دهد، در حالی که  $L$  طول کل لوله است  $C_*^+$ ،  $C_*^-$  به ترتیب خطوط مثبت و منفی ماخ هستند.  $C_0^+$ ،  $C_0^-$  به ترتیب خطوط ماخ در حالت پایدار قبل و بعد از وقوع نشت هستند. هنگامی که NPW به انتهای خط لوله می‌رسد، شرایط مرزی تحت تأثیر قرار می‌گیرد و یک فرآیند تداخلی تسریع می‌شود. مدت زمان این گذر تیز خیلی کوتاه است که می‌تواند تنها با فرکانس بسیار بالا نمونه‌برداری شود، به عنوان مثال ۱۰۰ هرتز.

سیستم نظارت کنترل و اکتساب داده‌ها

به صورت زیر بیان کرد [15]:

$$\frac{P_Q^2 - P_L^2}{Gq^2 RT} - 2 \ln \left( \frac{P_Q}{P_L} \right) = \frac{\bar{\mu} L r}{D} \quad (4)$$

جایی که  $P_L$  فشار در نشتی،  $Gq$  شار جرم بالادست از نقطه نشت است. به همین ترتیب، در طول  $C_*^+$  داریم [15]:

$$\frac{P_L^2 - P_Z^2}{G_Z^2 RT} - 2 \ln \left( \frac{P_L}{P_Z} \right) = \frac{\bar{\mu}(L - Lr)}{D} \quad (5)$$

جایی که  $G_Z$  شار جرم پایین دست از نقطه نشت است.

فرض کنید  $k$  نرخ نشت در نقطه نشت باشد. همان طور که فرض کردیم سطح مقطع لوله در طول خط لوله ثابت باقی می ماند، با این فرض  $k$  می تواند به صورت زیر در نظر گرفته شود [16]:

$$k = \frac{Gq - G_Z}{Gq} \quad (6)$$

معادلات (6-8) جریان در یک خط لوله گاز با نشت نشان می دهد. تغییرات فشار و جریان در انتهای خط لوله ناشی از نشت می تواند با حل این معادلات پیش بینی شود.

### حل معادلات مدل بر اساس مدار معادل

**توصیف مدل با یک مدار معادل.** برای مدل کردن خط لوله نشت، میزان نشت،  $k$  و محل نشت،  $L_r$  باید در ابتدا معلوم شود، و شارها و نرخ جریانها در انتها با استفاده از معادلات (6-8) نیز معلوم می گردد. باین حال،  $\theta$  متغیر نامعلوم در معادله (6-8) وجود دارد، مانند  $P_Q$  و  $P_L$  و  $P_Z$  و  $G_q$  or  $u_q$ ،  $G_Z$  or  $u_z$ ، لذا باید فرض کنیم که یکی از آنها شناخته شده است.

در صورت نشت، میزان نشت در نقطه نشت با فشار اولیه در مجرای ورودی خط لوله همراه است.

بنابراین، در محاسبه تغییرات متغیرهای جریان، فشار ورودی ثابت فرض می شود. از آنجایی که  $\theta$  متغیر ناشناخته و مجهول وجود دارد، به نظر می رسد راه حل دقیقی برای معادلات فوق وجود ندارد [17].

یک رویکرد جدید مبتنی بر شباهت بین سیستم خط لوله و مدار الکتریکی برای حل چنین معادلاتی به این منظور پیشنهاد می شود.

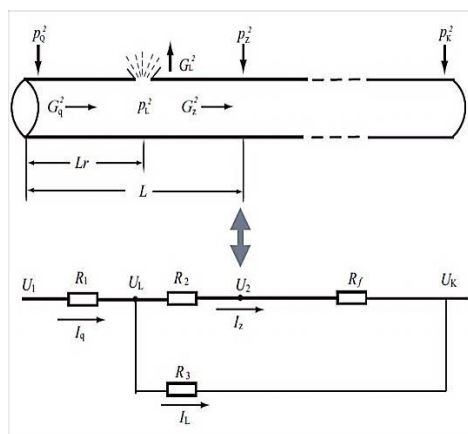
هدف اصلی برای شبیه سازی خط لوله انتقال گاز به عنوان مؤثرترین شبکه های پویا انتقال و توزیع گاز طبیعی، وضوح و پیش بینی سرعت جریان و توزیع فشار در طول لوله است.

فشار به عنوان عامل محرک جریان گاز، در روش قیاس الکتریکی به عنوان پتانسیل الکتریکی در نظر گرفته می شود که عامل تبدیل برق است. واضح است که جریان گاز نیز با جریان الکتریسیته شباهت دارد. یک عنصر ساده لوله به عنوان عنصر الکتریکی است که سرعت جریان و فشار در ابتدا و انتهای آن ذخیره می شود. برای ایجاد ارتباط فیزیکی بین اختلاف پتانسیل الکتریکی (افت فشار) و جریان الکتریکی از طریق این عنصر (سرعت جریان)، باید مدلی ارائه شود که نشان دهنده فیزیک انتقال گاز از طریق خط لوله است [12].

با مطالعات هیدرولیکی / الکتریکی در این زمینه موفق به ارتباط بین فشار و ولتاژ و نیز جریان سیال به جریان در مدار بین لوله انتقال و مدار الکتریکی شده اند، درحالی که تنها رابطه مقاومت در برابر حالت پایدار و شیوه برخورد با ویژگی انتهای خروجی خط لوله در نظر گرفته شده است [17].

از آنجایی که مقاومت حالت پایداری دارد لذا فشار ورودی و فشار خروجی تقریباً یکسان اند پس در معادله (3)، عبارت  $2 \ln(P_Q/P_Z)$  عددی نزدیک به صفر است بنابراین در مقایسه با دو عبارت دیگر می تواند حذف شود. بنابراین معادله (3) می تواند بازنویسی شود:

مطالعه و به کارگیری گازهای فشرده برای ایجاد نیروی مکانیکی می پردازد. لوله بین ورودی و نقطه نشت است [18].



شکل «۳»: خط لوله نشت و مدار معادل آن.

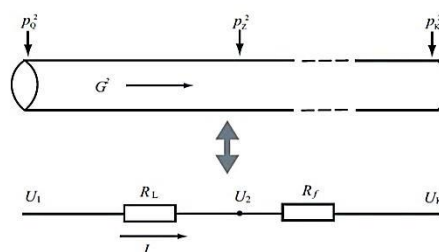
مقاومت پنوماتیک لوله  $R_2 = \bar{\mu}(L - L_r)RT/DX$  بین نقطه نشت و انتهای خروجی است، به طوری که در رابطه  $R_L = R_1 + R_2$  صدق می کند.  $R_3$  مقاومت پنوماتیک معادل است که از طریق آن گاز به جو جریان می یابد.  $I_q$  متناظر با  $G_q^2$  و  $I_z$  متناظر با  $G_z^2$  است.  $G_L$  جریان شار آزاد و  $I_L$  متناظر با  $G_L^2$  و  $U_L$  متناظر است با  $P_L^2$ . با توجه به معادله (۶) و روابط بین  $I_q$  و  $I_z$  داریم:

$$I_z = I_q(1 - k)^2 \quad (9)$$

**راه حل مبتنی بر مدار معادل.** مدار معادل ارائه شده در بالا نه تنها در روابط معادلات (۶-۸) صدق می کند، بلکه تقریبی برای مجرای خروجی خط لوله ساخته شده است. از نقطه نظر مدار، یک مقاومت و یک ولتاژ مرجع در مدار برای توضیح جریان در انتهای خروجی خط لوله اضافه می شود. ولتاژ مرجع نشان دهنده اثر بخشی لوله بعدی در این قسمت است و می تواند در شرایط عملیاتی ثابت نگه داشته شود. این می تواند از تطبیق رابطه بین تغییر فشار و تغییر شار جرم در انتها در شرایط عملیاتی خاص برگرفته شده باشد. مقاومت  $R_f$  نشان دهنده روابط پایدار بین فشار و نرخ جریان

$$\frac{P_0^2 - P_z^2}{G^2} = \frac{\bar{\mu}LRT}{D} \quad (7)$$

طبق معادله (۷)، اگر با ملاحظه و اغماض به صورت تقریبی با توجه به نزدیک بودن این مقادیر به ۱، لذا می توان  $P_0^2$  و  $P_z^2$  را به عنوان نیروی حرکت جریان از طریق خط لوله در نظر بگیریم،  $G^2$  به جریان و  $\bar{\mu}LRT/D$  به عنوان مقاومت و ساختار خط لوله شبیه یک مدار الکتریکی می شود. با توجه به ولتاژ مرجع، خط لوله صدمه ندیده و مدار معادل آن در شکل (۲) نشان داده شده است.



شکل «۲»: خط لوله نامحدود و مدار معادل آن.

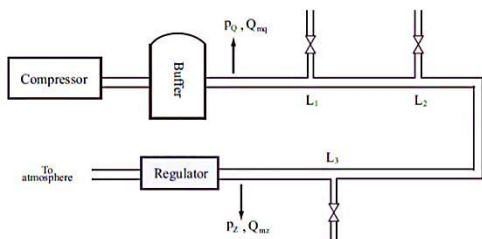
در شکل (۲)،  $P_K = U_K$  فشار مرجع، و  $R_L$  متناظر با آن است.  $R_L$  متناظر با مقاومت،  $\bar{\mu}LRT/D$  است.  $R_f$  نشان دهنده مقاومت در انتهای پایین دست از خط لوله است و می تواند به صورت زیر محاسبه شود:

$$R_f = \frac{P_z^2 - P_K^2}{G^2} \quad (8)$$

جایی که  $G, P_z, P_K$ ، متغیرهای جریان قبل از وقوع نشت است.

آزاد شدن گاز از خط لوله می تواند به عنوان شاخه ای از خط اصلی در نظر گرفته شود و  $R_L$  را به دو بخش تقسیم می کند. تخلیه گاز می تواند به عنوان جریان گاز از طریق مقاومت پنوماتیک به جو محسوب شود. شکل (۳) خط لوله نشت گاز و مدار معادل آن را نشان می دهد. در شکل (۳) با توجه به معادلات (۶-۸)،  $R_1 = \bar{\mu}L_rRT/D$ ، (پنوماتیک یا نیوماتیک) (نوعی فناوری است که به

طرح آزمایشی را نشان می‌دهد  $P_Q$  و  $P_Z$  فشار در دو انتها از خط لوله هستند.  $Q_{mq}$  و  $Q_{mz}$  اندازه‌گیری سرعت جریان ورودی و خروجی لوله است. در شکل (۴) ملاحظه می‌شود پایان خروجی خط لوله از طریق یک دریچه به اتمسفر باز می‌شود؛ بنابراین، فشار جو به‌عنوان فشار مرجع در مدل گرفته شده است.



شکل «۴»: نمودار مختصات تست تجربی

**تأیید تجربی مدل خط لوله گاز با نشت.** با دستکاری سوپاپ‌های دستی در سه نقطه نشت اندازه‌های مختلف نشت اتفاق می‌افتد و تغییرات فشار و جریان در دو انتهای خط لوله ثبت گردید. ضبط فشار خروجی، پایین‌دست و بالادست در ۶۰ ثانیه پس از وقوع نشت با داده‌های واقعی، مقایسه گردید و جدول (۱) نتایج مقایسه را نشان می‌دهد. جدول (۱) نشان می‌دهد که برای همه موارد پیش‌بینی‌های مدل منطبق با اندازه‌گیری‌هاست، به‌ویژه در مورد نشت‌های کوچک، کاملاً منطبق است. خطای محاسبات با افزایش میزان نشت، افزایش می‌یابد و آن به این دلیل است که عبارت  $2 \ln(P_Q/P_Z)$  در مدل حذف شده است و ضریب اصطکاک با تغییر سرعت تغییر می‌کند. پارامترهای ناشناخته در معادله (۱۰-۱۲)،  $\bar{\mu}$  و  $R_f$ ، از طریق شناسایی بر اساس شرایط استاتیک با توجه به معادلات به ترتیب (۷ و ۸) برآورد می‌شوند.  $\bar{\mu}$  نشان‌دهنده نه تنها میانگین ضریب فرسایش در طول خط لوله است، بلکه شامل خطای معرفی شده توسط مفروضات در قسمت "حل معادلات بر اساس مدار معادل می‌شود.

در انتهای خروجی خط لوله است که می‌تواند در صورت نشت در نظر گرفته شود، زیرا تغییرات  $R_f$  نسبت به تغییر مقاومت کل خط لوله به میزان کوچکی تغییر می‌کند که می‌تواند نادیده گرفته شود. از تجزیه و تحلیل مدارهای معادل نشان داده شده در شکل‌های (۳ و ۲)، می‌توانیم عبارات زیر را به دست آوریم [19]:

$$P_Z = \frac{(P_Q^2 - P_K^2)(1-K)^2 R_f}{\sqrt{(\bar{\mu} L r R T / D) + (1-K)^2 [\bar{\mu}(L-L_r) R T / D + R_f]} + P_K^2} \quad (10)$$

$$G_q = \frac{(P_Q^2 - P_K^2)}{\sqrt{(\bar{\mu} L r R T / D) + (1-K)^2 [\bar{\mu}(L-L_r) R T / D + R_f]}} \quad (11)$$

$$G_z = \frac{(P_Q^2 - P_K^2)(1-K)^2}{\sqrt{(\bar{\mu} L r R T / D) + (1-K)^2 [\bar{\mu}(L-L_r) R T / D + R_f]}} \quad (12)$$

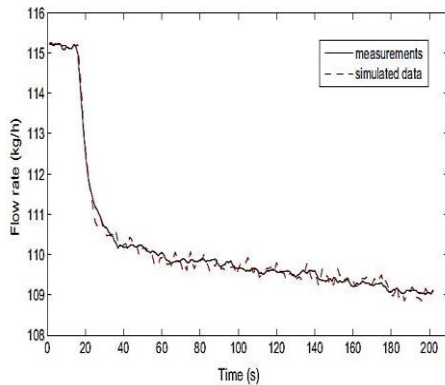
با توجه به نرخ نشت  $k$  و محل نشت  $L_r$ ، فشار در انتهای خروجی خط لوله، جریان خروجی و جریان ورودی می‌تواند بر اساس معادله (۱۰-۱۲) محاسبه شود. این عبارات، ک از تجزیه و تحلیل مدار معادل گرفته شده، مدل‌های ریاضی یک نشت گاز را شکل می‌دهند.

### نتایج عددی و مقایسه آن با نمونه تجربی

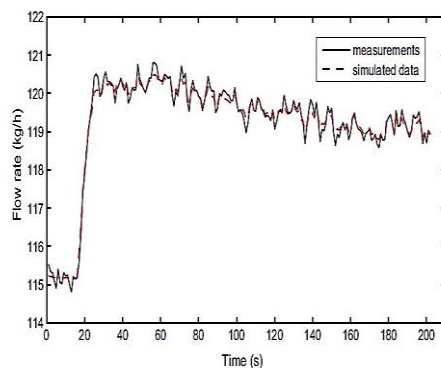
**معرفی سیستم خط لوله گاز تجربی.** آزمایش‌های تجربی بر روی یک خط لوله گاز واقعی در یک آزمایشگاه در دانشگاه نفت چین و مشابه آن در یکی از آزمایشگاه‌های شرکت آذرباب در ایران انجام شد. این خط لوله ۲۵۲/۴ متر طول و ۲۵ میلی‌متر قطر بود. سیال آزمون هوا بود. نشتی که به‌عنوان  $L_1$ ،  $L_2$  و  $L_3$  برچسب‌گذاری شده بود در ۳۸/۵ متر، ۱۱۷ متر و ۲۱۱ متر از ورودی خط لوله قرار داشت. دریچه‌های دستی که در هر نقطه نشتی برای تنظیم اندازه نشت، در هر دو انتهای خط لوله نصب شده است. شکل (۴) نمودار

جدول «۱»: مقایسه بین اندازه‌گیری‌ها و مقادیر محاسبه‌شده

$Q_{mz}$ خطای خطای (%)	$Q_{mz}$ اندازه‌گیری شده (kg/h)	$Q_{mz}$ محاسبه‌شده (kg/h)	$Q_{mq}$ خطای (%)	$Q_{mq}$ محاسبه‌شده (kg/h)	$Q_{mq}$ اندازه‌گیری شده (kg/h)	$P_z$ خطای (%)	$P_z$ محاسبه‌شده (kPa)	$P_z$ اندازه‌گیری شده (kPa)	میزان نشت (%)	نقطه نشت
۰.۰۷	۱۱۹.۰	۱۱۹.۱	-۰.۱۲	۱۲۱	۱۲۰.۹	-۰.۳۱	۹۴.۸	۹۴.۵	۱.۴۴	$L_1$ (۳۸.۵) (متری)
-۰.۲۵	۱۱۸.۰	۱۱۷.۱	-۰.۲۵	۱۲۶.۶	۱۲۶.۳	-۰.۵۸	۹۳.۳	۹۲.۷	۶.۸۴	
-۰.۳۷	۱۱۶.۰	۱۱۵.۶	-۰.۳۷	۱۳۱.۵	۱۳۱.۱	-۱.۱۵	۹۰.۹	۸۹.۹	۱۱.۸	
-۰.۷۲	۱۱۰.۲	۱۰۹.۴	-۰.۷۲	۱۴۳.۳	۱۴۲.۲	-۲.۶۶	۸۳.۲	۸۱.۷	۲۳.۱	
۰.۰۲	۱۱۹.۲۲	۱۱۹.۲۴	۰.۰۲	۱۲۱.۲	۱۲۱.۳	۰.۰۸	۹۳.۹	۹۴.۰	۱.۶۸	$L_2$ (۱۷۱) (متری)
۰.۳۷	۱۹.۲	۱۰۹.۶	۰.۳۷	۱۱۹.۰	۱۱۹.۴	-۰.۰۳	۸۳.۰	۸۳.۱	۸.۱۵	
۰.۷۰	۱۱.۳	۱۱۱.۱	۰.۷۰	۱۲۸.۳	۱۲۹.۴	-۰.۰۴	۸۳.۴	۸۳.۲	۱۴.۰	
۰.۹۲	۱۰۳.۱	۱۰۴.۰	۰.۹۱	۱۳۱.۰	۱۳۲.۲	-۰.۳۴	۷۵.۱	۷۴.۸	۲۱.۳	
-۰.۱۶	۱۱۸.۴	۱۱۸.۲	-۰.۱۶	۱۲۰.۰	۱۱۹.۸	-۰.۲۱	۹۴.۱	۹۳.۳	۱.۲۷	$L_3$ (۲۱۱) (متری)
-۰.۱۰	۱۱۳.۲	۱۱۳.۰	-۰.۱۰	۱۲۲.۸	۱۲۲.۷	-۰.۷۳	۸۸.۱	۸۷.۴	۷.۸۹	
-۰.۰۳	۱۰۹.۸	۱۰۹.۷	-۰.۳۳	۱۲۴.۵	۱۲۴.۵	-۱.۲۰	۸۴.۰	۸۰.۳	۱۱.۸	
۰.۱۲	۹۹.۵	۹۹.۷	۰.۱۲	۱۲.۶	۱۲۸.۸	-۲.۶۵	۷۲.۰	۷۰.۲	۲۲.۶	

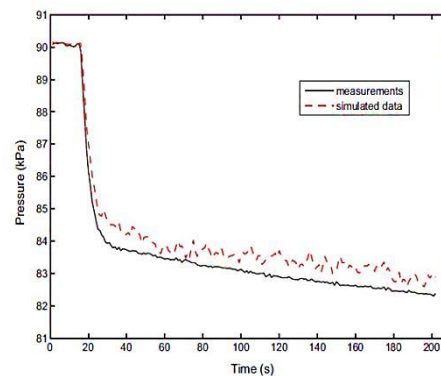


شکل «۶»: مقایسه نرخ جریان خروجی خط لوله گاز.



شکل «۷»: مقایسه نرخ جریان ورودی خط لوله گاز.

شکل‌های (۵-۷) مقایسه بین نتایج شبیه‌سازی و اندازه‌گیری را به‌عنوان یک نشت در  $L_2$  نشان می‌دهد، ه مربوط به موارد ذکر شده در جدول (۱) با میزان نشتی ۸.۱۵٪ است. نرخ نشت در جدول (۱) بر اساس معادله (۶) برآورد شده است. نتایج تجربی به‌دست‌آمده توانایی مدل در شبیه‌سازی فرآیند انتشار و همچنین توانایی آن در تولید داده‌های تست برای بررسی الگوریتم تشخیص نشت را تأیید می‌کند.



شکل «۸»: مقایسه فشار در خروجی خط لوله گاز.



یک رویکرد جدید مبتنی بر شباهت بین خط لوله و مدار الکتریکی پیشنهاد شده است. به این ترتیب، یک مدار معادل با ساختار خاصی برای شبیه‌سازی خط لوله با نشت استفاده شده است و تقریبی خاص برای بیان دیدگاه پایان خط لوله از نقطه نظر مدار ساخته شده است. بر اساس مدار معادل، مدل ریاضی خط لوله با نشت توسعه یافته است. مدل‌ها با داده‌های حاصل از یک سیستم خط لوله گاز تجربی با نشت تأیید شد. از شواهد تجربی می‌توان نتیجه گرفت که برای یک محل مشخص نشت و تغییرات میزان نشت و فشار ورودی به زمان، تغییرات فشار خروجی، جریان خروجی و جریان ورودی با دقت با مدل ریاضی برآورد می‌شود و فرآیند انتشار نیز می‌تواند شبیه‌سازی شود. موفقیت مدل در شبیه‌سازی خط لوله نشت همچنین اعتبار روش را تأیید می‌کند.

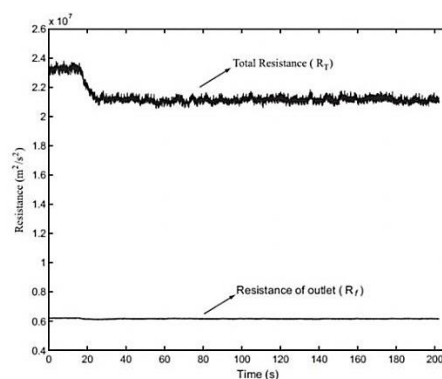
### واژه‌نامه

Pipeline	خط لوله
Leakage	نشت
Isothermal	همدما
Mathematical modeling	مدل‌سازی ریاضی
Equivalent circuit	مدار معادل
Down stream	پایین دست جریان
Upstream	بالادست جریان
Flow rate	نرخ جریان
Corrosion	خوردگی
Erosion	سایش داخلی
Friction coefficient	ضریب اصطکاک

شکل (۸) تغییرات در مقاومت کل خط لوله و پایان خروجی خط لوله را در هنگام نشت، نشان می‌دهد. در شکل (۸)،  $R_f$ ، مقاومت پایان خط لوله، با معادله (۸) برآورد شده و مقاومت کل خط لوله،  $R_T$  به شرح زیر محاسبه می‌شود [19]:

$$R_T = \frac{P_Q^2 - P_0^2}{G_q^2} \quad (14)$$

برای یک خط لوله آزمایشگاهی،  $R_T$  تقریباً ثابت است. در صورت نشتی، همان‌طور که در شکل (۸) مشاهده می‌شود،  $R_f$  تغییرات ناچیز در مقایسه با  $R_T$  دارد. بنابراین،  $R_f$  را می‌تواند بدون وقفه در وقوع یک نشت در نظر گرفته شود.



شکل «۸»: تغییر مقاومت یک خط لوله در وقوع یک نشت.

### نتیجه‌گیری

در این مقاله یک راه ساده و کارآمد برای توسعه مدل‌های خط لوله نشتی ارائه شد. مدل‌های توسعه یافته در این روش می‌توانند برای برآورد تغییرات فشار و جریان در مجرای یک خط لوله پس از وقوع نشت استفاده شوند. عبارات ریاضی توصیف جریان در خط لوله با نشت فرموله شده است. برای حل معادلات مدل،

## مراجع

1. Benkherouf, A. and Allidina, A.Y., "Leak detection and location in gas pipelines", *IEE, Proceedings, Part D, Control Theory and Applications*, Vol. 135, No. 3, pp. 142–148, June (1988).
2. Billmann, L. and Isermann, R., "Leak detection methods for pipelines", *Automatica*, Vol. 23, No. 1, pp. 381–385, September (1987).
3. Emara-Shabaik, H.E., Khulief, Y.A. and Hussaini, I., "A non-linear multiple-model state estimation scheme for pipeline leak detection and isolation", Proceedings of the Institution of Mechanical Engineers. Part I, *Journal of Systems and Control Engineering*, Vol. 216, No. 3, pp. 497–512, June (2002).
4. Oke, A., Mahgerefteh, H., Economou, I. and Rykov, Y., "A transient outflow model for pipeline puncture", *Chemical Engineering Science*, Vol. 58, No. 2, pp. 4591–4604, February (2003.)
5. Shin, Y.W., Kim M.S. and Lee, S.K., "Identification of to detection of impact source location based on signal processing", *Journal of Mechanical Science and Technology*, pp. 2401-2411, December (2010).
6. Nouri-Borujerdi, A., "Transient modeling of gas flow in pipelines following catastrophic failure", *Math. Comput. Model*, 54, 3037e304, (2011).
7. Abolfazli Esfahani, J. and Moloudi, R. "Modeling of gas release following pipeline rupture: Proposing nondimensional correlation", *Journal of Loss Prevention in the Process Industries*, Vol. 32, 207-21, (2014).
8. Huo, C., Dong, Y., Yu, D., Gao, H., Zhou, J. and Feng, Y., "Estimation of accidental gas release flow rate in long transmission pipelines", *Acta Petrolei Sinica*, Vol. 25, No. 4, pp. 101–105, July (2004).
9. Jo, Y.D. and Ahn, B.J., "A simple model for the release rate of hazardous gas from a hole in high-pressure pipelines", *Journal of Hazardous Materials*, Vol. 97, No. 3, pp. 31–46, May (2003).
10. Wylie, E.B. and Streeter, V.L., "*Fluid Transients in Systems*", Prentice Hall Inc., New Jersey, (1993).
11. Kolbadinejad, M., Zabihollah, A., Khayyat, A.A. and Ollah Mahmoud Pour, M. "An equivalent electrical circuit design for pipeline corrosion monitoring based on piezoelectric elements", *Journal of Mechanical Science and Technology*, Vol. 27, pp. 799-804, March (2013).
12. Taherinejad, M., Hosseinalipour, S.M. and Madoliat, R. "Steady Flow Analysis and Modeling of the Gas Distribution Network using the Electrical Analogy", *International Journal of Engineering (IJE) Transactions B: Applications*, Vol. 27, No. 8, pp. 1269-1276, (2014).
13. Li, W., "One-Dimensional Non-steady Flow and Shock Waves", *National Defense Industry Press, Beijing*, Vol. 15, No. 8, China, (2003).
14. Finnemore, E.J. and Franzini, J.B., "*Fluid Mechanics with Engineering Applications*", 10<sup>th</sup> ed., McGraw-Hill, New York, (2003).
15. Yao, G., "*The Design and Management of Gas Transmission Line*", China University of Petroleum Press, Dongying, China, (1991).
16. Sun, L. and Wang, J., "Modeling and simulation of leaking gas pipeline", *Journal of System Simulation*, Vol. 23, No. 6, pp. 1310–1314, November (2011) .
17. Lin, K. and Holbert, K.E., "Applying the equivalent pi circuit to the modeling of hydraulic pressurized lines", *Mathematics and Computers in Simulation*, Vol. 79, pp. 2064–2075, November (2009).
18. Kamiński, Z., "Mathematical Modeling of Pneumatic Pipes in a Simulation of Heterogeneous Engineering Systems", *Journal of Fluids Engineering*, 133(12): 121401 (7 pages), Dec (2011).
19. Sun, L., "Modeling and simulation of leaking gas pipeline", *Journal of Mathematics and Computers in Simulation*, Vol. 82, pp. 2253–2267, June (2012).